

Fyzika biopolymerů

Elektrostatické interakce a van der Waals

Robert Vácha

Kamenice 5, A4 2.13
robert.vacha@mail.muni.cz



Biopolymery

- biopolymery jsou biologické polymery - řetězce kovalentně propojených monomerních jednotek (nukleových kyselin, aminokyselin, sacharidů)
- DNA, RNA, proteiny, celuloza, glykogen, chitin, škrob, ...
- struktura primární, sekundární, terciální, kvarterní
- interakce?

2

Interakce

$V(r)$ = interakční energie mezi dvěma částicemi Interakce: 1. vazebné 2. nevazebné

$$\text{derivací potenciálu je síla} \quad F = -\frac{dV(r)}{dr}$$

jednotky energie $1 \text{ J} = 0.239 \text{ cal} = 6.242 \times 10^{18} \text{ eV} = 2.43 \times 10^{20} \text{ kT (25°C)}$
 $1 \text{ kT (25°C)} = 0.529 \text{ kcal mol}^{-1} = 2.478 \text{ kJ mol}^{-1}$
 $1 \text{ kT} = 4.114 \times 10^{-21} \text{ J (25°C)} = 4.045 \times 10^{-21} \text{ J (20°C)}$
 $1 \text{ kcal mol}^{-1} = 4.184 \text{ kJ mol}^{-1}$ (1 cal = 4.184 J)
 $1 \text{ eV} = 1.602 \times 10^{-19} \text{ J} = 23.06 \text{ kcal mol}^{-1}$
 $1 \text{ cm}^{-1} = 1.986 \times 10^{-23} \text{ J}$

| | | |
|------------------------|-------------------------------|---|
| Boltzmannova konstanta | k, k_B | $1.381 \times 10^{-23} \text{ JK}^{-1}$ |
| Avogadrovo číslo | N_A | $6.022 \times 10^{23} \text{ mol}^{-1}$ |
| Plynová konstanta | $R=k \times N_A$ | $8.314 \text{ JK}^{-1} \text{ mol}^{-1}$ |
| Náboj elektronu | e | $1.602 \times 10^{-19} \text{ C}$ |
| Rychlosť svetla | c | $2.998 \times 10^8 \text{ ms}^{-1}$ |
| Permitivita vakuua | $\epsilon = 10^{-7} 4\pi c^2$ | $8.854 \times 10^{-12} \text{ C}^2 \text{ J}^{-1} \text{ m}^{-1}$ |

3

Základní síly/interakce

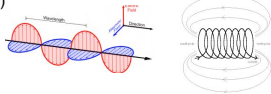
Gravitace (Isaac Newton, 1687)

- úměrnost $1/r^2$
- elementární částice - graviton (hypotetická)



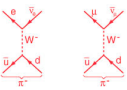
Elektromagnetismus (James Clerk Maxwell - 1864)

- 10^{36} krát silnější než gravitace
- úměrnost $1/r^2$
- elementární částice - foton



Slabá interakce (Enrico Fermi - 1934; později Glashow, Salem, and Weinberg - 1979)

- 10^{20} krát silnější než gravitace
- úměrnost $1/r^2 \exp(-mwzr)$
- dosah 10^{-18} m
- elementární částice - bosony W a Z



Silná interakce (Murray Gell-mann and George Zweig - 1961)

- 10^{38} krát silnější než gravitace
- dosah 10^{-15} m (10x průměr atomového jádra)
- elementární částice - gluony



4

Electromagnetické síly

- určují (dominují) interakci mezi atomy a molekulami: vazebné síly, nevazebné síly, vodíkové vazby, solné můstky, atd
- jsou konzervativní

Příklad: Interakce dvou iontů (Na^+ Cl^-) ve vakuu:

Gravitační síla (Newton):

$$F_G = G \frac{m_{\text{Na}} m_{\text{Cl}}}{r^2}$$

Electromagnetická síla (Coulomb):

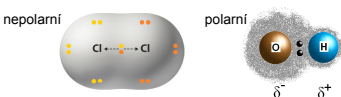
$$F_C = \frac{1}{4\pi\epsilon_0} \frac{Q_{\text{Na}} Q_{\text{Cl}}}{r^2}$$

5

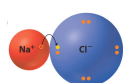
1. Vazebné interakce - chemická vazba

rozsah 1.5 - 3.0 angström = 10^{-10} m, změněná distribuce elektronové hustoty mezi atomy

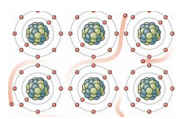
1) kovalentní vazba - 60 - 1000 kJ/mol



2) iontová vazba - 300 - 3000 kJ/mol



3) kovová vazba - 80 - 1000 kJ/mol



6

2. Nevazebné interakce

Nevazebné elektrostatické interakce seřazené podle velikosti (multipólový rozvoj = série popisující prostorové rozdělení):

- náboj - náboj
- náboj - dipól
- dipól - dipól
- náboj - indukovaný dipól
- dipól - indukovaný dipól

A - Coulombovská interakce (náboj-náboj)

Síla: $F_C = -\frac{1}{4\pi\epsilon} \frac{Q_1 Q_2}{r^2}$

Potenciál: $V_C = \frac{1}{4\pi\epsilon} \frac{Q_1 Q_2}{r}$

$$\epsilon_0 = 8.854 \times 10^{-12} C^2 N^{-1} m^{-2} \quad \frac{1}{4\pi\epsilon_0} = 10^{-7} c^2 m/F$$

7

Příklad

Spočítejte interakční energii mezi Na⁺ a Cl⁻ ve vakuu.
Uvažujte vzdálenost mezi ionty 2.8 Å.

Řešení

Pro jednoduchost bylo zavedeno:

$$\frac{1}{kT} V = \frac{1}{4\pi\epsilon kT} \frac{e^2}{r} \frac{z_1 z_2}{r} = l_B \frac{z_1 z_2}{r}$$

l_B je Bjerrumova délka a
 z je valence

8

Table 3.2 Static Dielectric Constants ϵ of Some Common Liquids and Solids at 25°C^a

| Compound | ϵ | Compound | ϵ |
|------------------------------------|---|----------|--|
| Hydrogen-bonding | | | |
| Methyl formamide | HCONHCH ₃ | 182.4 | Polymers |
| Formamide | HCONH ₂ | 109.5 | Nylon 3.7–4.2 |
| Hydrogen fluoride | HF (at 0°C) | 84 | PTFE, Fluorocarbons 2.0, 2.1–3.6 |
| Water | H ₂ O | 78.5 | Polycarbonate 3.0 |
| Water | D ₂ O | 77.9 | Polystyrene 2.4 |
| Formic acid | HCOOH (at 16°C) | 58.5 | Silicone oil 2.8 |
| Ethylene glycol | C ₂ H ₆ (OH) ₂ | 40.7 | Glasses |
| Methanol | CH ₃ OH | 32.6 | Fused quartz SiO ₂ 3.8 |
| Ethanol | C ₂ H ₅ OH | 24.3 | Soda glass 7.0 |
| n-Propanol | C ₃ H ₇ OH | 20.2 | Borosilicate glass 4.5 |
| Ammonia | NH ₃ | 16.9 | Crystalline solids |
| Acetic acid | CH ₃ COOH | 6.2 | Diamond (carbon) 5.7 |
| Non-hydrogen-bonding, polar | | | |
| Acetone | (CH ₃) ₂ CO | 20.7 | Crystalline quartz SiO ₂ 4.5 |
| Chloroform | CHCl ₃ | 4.8 | Micas 5.4–7.0 |
| Nonpolar | | | Sodium chloride NaCl 6.0 |
| Benzene | C ₆ H ₆ | 2.3 | Alumina Al ₂ O ₃ 8.5 |
| Carbon tetrachloride | CCl ₄ | 2.2 | Miscellaneous |
| Cyclohexane | C ₆ H ₁₂ | 2.0 | Piezoelectric materials 87.9 |
| Dodecane | C ₁₂ H ₂₆ | 2.0 | Water (liquid at 0°C) 87.9 |
| Hexane | C ₆ H ₁₄ | 1.9 | Water (ice at 0°C) 91.6–106.4 |
| | | | Paraffin (liquid) 2.2 |
| | | | Paraffin wax (solid) 2.2 |
| | | | Liquid helium (2–3 K) 1.055 |
| | | | Air (dry) 1.00054 |

^aThe dielectric constant is a measure of the extent of reduction of electric fields and, consequently, of the reduced strengths of electrostatic interactions in a medium.

Jacob N.
Israelachvili:
Intermolecular
and Surface
Forces 3rd ed.
Academic press
2011 p.65

9

Příklad

Spočítejte střední hodnotu rotujícího dipolu v přítomnosti jiného náboje. K výpočtu integrálu approximujte exponencielu Taylorovým rozvojem $e^x \approx 1 + x$

$$\langle p \rangle = \int_0^\pi p \cos \theta dP = \int_0^\pi p \cos \theta \frac{e^{-\frac{1}{4\pi\epsilon} \frac{Q_1 p \cos \theta}{kT r^2}} \sin \theta d\theta}{\int_0^\pi e^{-\frac{1}{4\pi\epsilon} \frac{Q_1 p \cos \theta}{kT r^2}} \sin \theta d\theta}$$

integrály, které se mohou hodit

$$\int_0^\pi \sin \theta \cos \theta d\theta = 0 \quad \int_0^\pi \sin \theta \cos^2 \theta d\theta = \frac{2}{3} \quad \int_0^\pi \sin^3 \theta d\theta = \frac{4}{3}$$

13

řešením je Langevinova funkce L , kde Taylorovým rozvojem

$$L(x) = \coth(x) - \frac{1}{x} = \frac{e^x + e^{-x}}{e^x - e^{-x}} - \frac{1}{x} = \frac{1}{3}x - \frac{1}{45}x^3 \dots$$

$$\langle p \rangle = \int_0^\pi p \cos \theta dP = \frac{\int_0^\pi p \cos \theta e^{-\frac{1}{4\pi\epsilon} \frac{Q_1 p \cos \theta}{kT r^2}} \sin \theta d\theta}{\int_0^\pi e^{-\frac{1}{4\pi\epsilon} \frac{Q_1 p \cos \theta}{kT r^2}} \sin \theta d\theta}$$

$$= pL\left(\frac{1}{4\pi\epsilon} \frac{Q_1 p}{kT r^2}\right) \approx \frac{1}{4\pi\epsilon} \frac{Q_1 p^2}{3kT r^2}$$

Interakční potenciál náboje a rotujícího dipolu potom je:

$$\begin{aligned} \langle V \rangle &= -\frac{1}{4\pi\epsilon} \frac{Q_1 \langle p \cos \theta \rangle}{r^2} = -\frac{1}{4\pi\epsilon} \frac{Q_1 \langle p \rangle}{2r^2} \\ &= -\frac{1}{4\pi\epsilon} \frac{Q_1}{2r^2} \frac{1}{4\pi\epsilon} \frac{Q_1 p^2}{3kT r^2} = -\frac{1}{(4\pi\epsilon)^2} \frac{Q_1^2 p^2}{6kT r^4} \end{aligned}$$

Energii rotujícího dipolu s jiným dipolem nebo obecněji elektrickým polem, které vytváří v bodě dipolu potenciál $V_{external}$

$$\langle p \rangle \approx \frac{p^2 V_{external}}{3kT}$$

14

Entropická část interakce

výše uvedené interakce jsou Helmholtzovy volné energie = polovina celkové vnitřní energie pro rotující dipól => polovina energie je spotřebována na orientování dipolů

z termodynamiky: $E = F + TS = F - T \frac{\partial F}{\partial T}$

pro rotující dipol(y) ve vakuum: $F \sim -T^{-1}$

$$\begin{aligned} T \frac{\partial F}{\partial T} &= -F \\ E &= 2F \end{aligned}$$

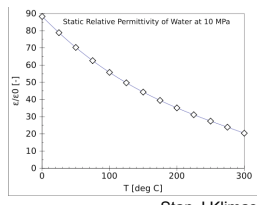
dielektrická konstanta obvykle závisí na teplotě

pro dva interagující náboje v dielektriku:

$$TS = -T \frac{\partial F}{\partial T} = \frac{1}{4\pi\epsilon} \frac{Q_1 Q_2}{r} \frac{T}{\epsilon} \frac{\partial \epsilon}{\partial T} = \frac{TF}{\epsilon} \frac{\partial \epsilon}{\partial T}$$

pro vodu: $\frac{T}{\epsilon} \frac{\partial \epsilon}{\partial T} = -1.36$

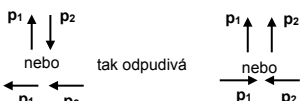
$$E = 2.36F$$



15

Interakce dipól - dipól

interakce dvou dipólů může být jak přitažlivá



obecně pro natočené dipoly:
$$V = -\frac{1}{4\pi\epsilon} \left[\frac{\vec{p}_1 \cdot \vec{p}_2}{r^3} - \frac{3(\vec{p}_1 \cdot \vec{r})(\vec{p}_2 \cdot \vec{r})}{r^5} \right]$$

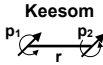
$$\begin{aligned} & \text{p}_1 \theta_1 \text{p}_2 \theta_2 \\ & r \psi \end{aligned}$$

$$= -\frac{1}{4\pi\epsilon} \frac{p_1 p_2 t}{r^3}$$

$t = 2 \cos \theta_1 \cos \theta_2 - \sin \theta_1 \sin \theta_2 \cos \psi$

pro teplotně rotující dipoly:

pravděpodobnost stavu $P \sim e^{-V/kT} = \exp \left(\frac{1}{4\pi\epsilon} \frac{p_1 p_2 t}{kTr^3} \right)$



odtud lze odvodit (složitějším výpočtem): $\langle t \rangle = -\frac{1}{4\pi\epsilon} \frac{p_1 p_2}{kTr^3} \frac{1}{3}$

volná energie teplotně rotujících dipólů: $\langle V \rangle = -\frac{1}{(4\pi\epsilon)^2} \frac{p_1^2 p_2^2}{3kTr^6}$

vždy přitažlivá a pro volně rotující dipoly ($T \rightarrow \infty$) $V=0$

16

Table 4.1 Dipole Moments of Molecules, Bonds, and Molecular Groups (in Debye Units:
1 D = 3.336×10^{-30} C m)^a

| Molecules | | | |
|---|-------------------|--|-------------------|
| Alkanes | 0 ^b | H ₂ O | 1.85 ^c |
| C ₆ H ₆ (benzene) | 0 ^d | C ₂ H _{2n+1} OH (alcohols) | 1.7 |
| CCl ₄ | 0 | C ₂ H ₅ OH (cyclohexanol) | 1.7 |
| CO ₂ | 0 ^e | OMCT's ^f | 0.42 |
| CO | 0.11 | CH ₃ COOH (acetic acid) | 1.7 |
| CHCl ₃ (chloroform) | 1.06 | C ₂ H ₄ O (ethylene oxide) | 1.9 |
| HCl | 1.08 | CH ₃ COCH ₃ (acetone) | 2.9 |
| HF | 1.91 ^g | HCONH ₂ (formamide) | 3.7 ^h |
| NH ₃ | 1.47 | C ₆ H ₅ OH (phenol) | 1.5 |
| CH ₂ Cl | 1.87 | C ₆ H ₅ NH ₂ (aniline) | 1.5 |
| NaCl | 8.5 | C ₆ H ₅ Cl (chlorobenzene) | 1.8 |
| CsCl | 10.4 | C ₆ H ₅ NO ₂ (nitrobenzene) | 4.2 |
| Bond Moments | | | |
| C-H ⁺ | 0.4 | C-C | 0 |
| N-H ⁺ | 1.31 | C=C | 0 |
| O-H ⁺ | 1.51 | C=N | 0.22 |
| F-H ⁺ | 1.94 | C-O | 0.74 |
| | | N=O | 2.0 |
| Group Moments | | | |
| C=CH ₃ | 0.4 | C=COOH | 1.7 |
| C=OH | 1.65 | C=OCH ₃ | 1.3 |
| C=NH ₂ | 1.2-1.5 | C=NO ₂ | 3.1-3.8 |

^aData compiled from Wesson (1948), Smyth (1950), Davies (1965), Landolt-Bornstein (1982), and Jasien and Fitzgerald (1990).

^bPyramidal conformation (e.g., methane has a dipole moment).

^cHydrogen-bonding molecules can have different dipole moments in the gas, liquid, and solid phases, as well as in different solvents.

^dBenzene has six C-H⁺ dipoles pointing radially out, giving rise to a zero net dipole moment but that also attracts cations to the center of the molecule.

^eCO₂ has two C=O⁺ dipoles pointing in opposite directions, giving rise to a zero net dipole moment.

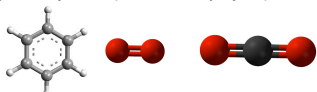
^fOctamethyl cyclotetrasiloxane, a quasi-spherical molecule of low polarity that is commonly used as a model solvent or solute in fundamental studies of intermolecular interactions.

Jacob N.
Israelachvili:
Intermolecular
and Surface
Forces 3rd ed.
Academic press
2011 p.72

17

C - Interakce nepolárních částic

částice s nulovým nábojem a dipolem se nazývají nepolární (N₂, CO₂, benzen, ...)



elektrické pole na nich může indukovat dipól deformací elektronové hustoty
indukovaný dipol je v prvním přiblížení přímo úměrný elektrickému poli

$$p_{\text{indukovaný}} = \alpha E$$

polarizovatelnost α je:

- tenzor, který může být neisotropní
- přibližně úměrná objemu molekuly
- dána především valenčními elektrony
- π elektrony jsou polarirovatelnější než σ elektrony
- interakce kovových nanokrystalů nebo nanotubulek mohou být silné díky množství volně vázaných elektronů

pro malé molekuly lze získat odhad součtem polarizovatelnosti vazeb

18

Table 5.1 Electronic Polarizabilities α_0 of Atoms, Molecules, Bonds, and Molecular Groups^a

| Atoms and Molecules | | | | |
|-----------------------|-----------|--------------------|------|--------------------------------------|
| He | 0.20 | NH ₃ | 2.3 | CH ₂ =CH ₂ 4.3 |
| H ₂ | 0.81 | CH ₄ | 2.6 | C ₂ H ₆ 4.5 |
| H ₂ O | 1.45–1.48 | HCl | 2.6 | Cl ₂ 4.6 |
| O ₂ | 1.60 | CO ₂ | 2.9 | CHCl ₃ 8.2 |
| Ar | 1.63 | CH ₃ OH | 3.2 | C ₆ H ₆ 10.3 |
| CO | 1.95 | Xe | 4.0 | CCl ₄ 10.5 |
| Bond Polarizabilities | | | | |
| C=C aliphatic | 0.48 | C–H | 0.65 | C–Cl 2.60 |
| C=C aromatic | 1.07 | O–H | 0.73 | C–F 0.73 |
| C≡C | 1.65 | C–O | 0.60 | Si–Si 2.24 |
| | 2.39 | C≡O | 1.36 | Si–H 1.27 |
| Molecular Groups | | | | |
| C–O–H | 1.3 | –CH ₂ – | 1.84 | CF ₃ 2.4 |
| C–O–C | 1.1 | CH ₃ | 2.0 | Si–O–Si 1.4 |
| C–NH ₂ | 2.0 | –CF ₃ – | 2.0 | Si–OH 1.6 |

^aPolarizabilities α_0 are given in volume units of $(4\pi\alpha_0)\text{\AA}^3 = (4\pi\alpha_0)10^{-10} \text{ m}^3 = 1.11 \times 10^{-40} \text{ C}^2 \text{ J}^{-1}$. Note that when molecules are dissolved in a solvent medium, their polarizability can change by up to 10%. Data compiled from CRC Handbook of Chemistry and Physics, 87th Edition (2006–2007), Denbigh (1940), Hirschfelder et al., (1954), and Smyth (1955).

Jacob N. Israelachvili: Intermolecular and Surface Forces 3rd ed. Academic press 2011 p.93

19

interakce náboje s indukovaným dipólem = interakce náboje a pevného dipólu ve směru pole:

$$\begin{aligned} V &= -\frac{1}{4\pi\epsilon} \frac{Q_1}{r^2} p_2 \cos\theta \\ &= -\frac{1}{4\pi\epsilon} \frac{Q_1}{r^2} \alpha_2 \frac{1}{4\pi\epsilon} \frac{Q_2}{r^2} \\ &= -\frac{1}{(4\pi\epsilon)^2} \frac{Q_1^2 \alpha_2}{r^4} \end{aligned}$$

musíme ovšem odečíst energii spotřebovanou na indukování dipólu $\frac{1}{(4\pi\epsilon)^2} \frac{Q_1^2 \alpha_2}{2r^4}$

volná interakční energie je:

$$V = -\frac{1}{(4\pi\epsilon)^2} \frac{Q_1^2 \alpha_2}{2r^4}$$

obdobně interakce indukovaného dipólu v poli fixovaného nebo rotujícího dipólu
obecně pro dvě polarizovatelné molekuly s dipóly dostaneme Debyeho interakci:

$$V = -\frac{1}{(4\pi\epsilon)^2} \frac{p_1^2 \alpha_2 + p_2^2 \alpha_1}{r^6}$$

20

Přehled elektrostatických interakcí

náboj - náboj (Coulomb)



$$\frac{1}{4\pi\epsilon} \frac{Q_1 Q_2}{r}$$

náboj - dipól



$$-\frac{1}{4\pi\epsilon} \frac{Q_1 p_2 \cos\theta}{r^2}$$

náboj - rotující dipól



$$-\frac{1}{(4\pi\epsilon)^2} \frac{Q_1^2 p_2^2}{6kT r^4}$$

Dipól může rotovat, pokud velikost interakční energie je menší než kT.
Dáno Boltzmanovskou distribucí stavů.

náboj - indukovaný dipól

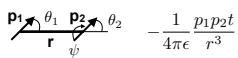


$$-\frac{1}{(4\pi\epsilon)^2} \frac{Q_1^2 \alpha_2}{2r^4}$$

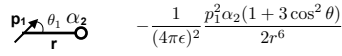
Polarizovatelnost α určuje velikost indukovaného dipólu $p = \alpha E$

21

pevný dipól - pevný dipól



pevný dipól - indukovaný dipól



Interakce

Ion-dipole

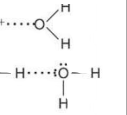
model



Ion charge–dipole charge

V [kJ/mol]

40–600



H bond

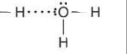
model



Polar bond to H–dipole charge
(high EN of N, O, F)

V [kJ/mol]

10–40



Dipole-dipole

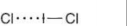
model



Dipole charges

V [kJ/mol]

5–25



Ion-induced dipole

model



Ion charge–polarizable e⁻ cloud

V [kJ/mol]

3–15



Dipole-induced dipole

model



Dipole charge–polarizable e⁻ cloud

V [kJ/mol]

2–10



Philip J Brucat 22

3. Nevazebné neelektrostatické interakce

A - van der Waals

$$\text{van der Waals} = \text{Keesom} + \text{Debye} + \text{London}$$

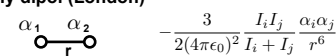
rotující dipól - rotující dipól (Keesom)



rotující dipól - indukovaný dipól (Debye)



indukovaný dipól - indukovaný dipól (London)



$$V \sim \frac{1}{r^6}$$

23

B - Repulze

elektronové obaly atomů se začnou odpuzovat pokud se atomy k sobě přiblíží na několik ángstrómů

odpudivá interakce je: $V \sim e^{-r/\sigma}$ σ je konstanta související s velikostí atomu

pro výpočetní jednoduchost se častěji používá mocnina: $V \sim \left(\frac{\sigma}{r}\right)^n$

van der Waalsova a repulzní interakce se nejčastěji popisuje Lennar-Jonesovým potenciálem

$$4\epsilon \left[\left(\frac{\sigma}{r}\right)^{12} - \left(\frac{\sigma}{r}\right)^6 \right] = \frac{A}{r^{12}} - \frac{B}{r^6}$$

efektivní poloměry atomů, molekul a ionů v nm

| | | | | | | | | |
|--------------------------|--------------------------|--------------------------|--------------------|-----------------------|------------------|--|--|--|
| Ne | Ar | Kr | Xe | CH ₄ | CCl ₄ | | | |
| 0.154 | 0.188 | 0.201 | 0.216 | 0.20 | 0.275 | | | |
| H ₂ O | O ₂ | NH ₃ | HCl | HBr | | | | |
| 0.14 | 0.18 | 0.18 | 0.18 | 0.19 | | | | |
| CH ₃ OH | CH ₂ O | CH ₃ Cl | CH ₃ Br | CH ₃ I | | | | |
| 0.21 | 0.215 | 0.250 | 0.300 | 0.350 | | | | |
| -CH ₃ - group | -CH ₂ - group | -NH ₂ - group | -OH- group | -NH ₂ ring | | | | |
| 0.20 | 0.20 | 0.17 | 0.145 | 0.37 | | | | |

Jacob N.
Israelachvili:
Intermolecular
and Surface
Forces 3rd ed.
Academic press
2011 p.134

24

Shrnutí některých vztahů termodynamiky

| | | | |
|--------------------------------|---------------------------------|--|---|
| energie $dE = Q + W$ | entalpie $H = E + pV$ | Helmholtzova ve $F = E - TS$ | Gibbsova ve $G = E - TS + pV$ ve=volná energie |
|--------------------------------|---------------------------------|--|---|

$$NVE : \quad dE = TdS - pdV + \sum_i \mu_i N_i$$

$$NpE : \quad dH = TdS + Vdp + \sum_i \mu_i N_i$$

$$NVT : \quad dF = -SdT - pdV + \sum_i \mu_i N_i$$

$$NpT : \quad dG = -SdT + Vdp + \sum_i \mu_i N_i$$

Gibbs-Dunham

$$-SdT + Vdp = \sum_i N_i d\mu_i$$

vztah mezi změnou entropie a teplom

$$dS = \frac{\delta Q_{rev}}{T}$$

Boltzmannova distribuce stavů

v kanonickém souboru (NVT) je Helmholtzova volná energie $dF = dE - TdS = 0$

energie E je průměrná hodnota přes soubor $E = \langle E \rangle = \sum p_i E_i$

p_i je pravděpodobnost i-tého stavu s energií E_i

$$\text{derivaci dostaneme} \quad dE = \sum (E_i dp_i + p_i dE_i) = \sum E_i dp_i$$

$\sum_i (\Delta_{iapi} + p_i \Delta_{Ei}) - \sum_i \Delta_{iapi}$
neboť energie stavu závisí na N, V ale ne na

$$S = -k \sum_i p_i \ln p_i$$

dojdeme do nezátačného vztahu pro Helmholtzovu volnu energii

$$dF = \sum_i [E_i + kT(1 + \ln p_i)]dp_i = 0$$

řešením rovnice je pravděpodobnost jednotlivých stavů (po normalizaci)

$$p_i = \frac{e^{-\frac{E_i}{kT}}}{\sum_j e^{-\frac{E_j}{kT}}} = \frac{e^{-\frac{E_i}{kT}}}{Q}$$